

平成24年度 全学教育

自然界の構造

生体内の流れ

最新の測定技術や、スーパーコンピュータによるシミュレーションにより、生体内の複雑な血液の流れを理解する。

第2回 数値シミュレーション

2012年4月25日

流体科学研究所
流体融合研究センター

早瀬敏幸

自然界の構造 講義予定

1回目	4月11日	早瀬敏幸教授	生体内の流れ(1) 概論
2回目	4月18日	休講	
3回目	4月25日	早瀬敏幸教授	生体内の流れ(2) シミュレーション
4回目	5月2日	伊藤高敏教授	
5回目	5月9日	伊藤高敏教授	
6回目	5月16日	伊藤高敏教授	
7回目	5月23日	西山秀哉教授	
8回目	5月30日	西山秀哉教授	
9回目	6月6日	西山秀哉教授	
10回目	6月13日	丸田 薫教授	
11回目	6月20日	丸田 薫教授	
12回目	6月27日	丸田 薫教授	
13回目	7月4日	久保田智広准教授	
14回目	7月11日	久保田智広准教授	
15回目	7月18日	久保田智広准教授	

第2回 講義内容

1. はじめに
2. 動的システムと微分方程式
3. 偏微分方程式
4. 常微分方程式の数値解法
5. 偏微分方程式の数値解法
6. 数値シミュレーションの例
7. おわりに

1. はじめに

コンピュータの発展

1946年 世界初のデジタル計算機ENIACが完成

Electronic Numerical Integrator and Computer

ペンシルベニア大学(米国)

18000本の真空管

毎秒5000回の加算、14回の10桁乗算

(当時、最新の機械式リレーコンピュータでは、毎秒50回の加算が可能)



ペンシルベニア大学HP

2002年 世界最速の地球シミュレータが完成(56年後)

地球シミュレータセンター(日本)

3000億個のトランジスター(CPUのみ) (1500万倍)

毎秒40兆回の乗算 (3兆倍)



理化学研究所HP

2011年 京速コンピュータ「京」が世界最速に(65年後)

理化学研究所(日本)

672筐体(CPU数68,544個)

毎秒8,162兆回の乗算 (583兆倍)

シミュレーション手法の発展

1666年 微積分学(ニュートン)

1845年 ナビエ・ストークス方程式(流れの基礎方程式)

1900年頃 ルンゲ・クッタ法(常微分方程式の数値解法)

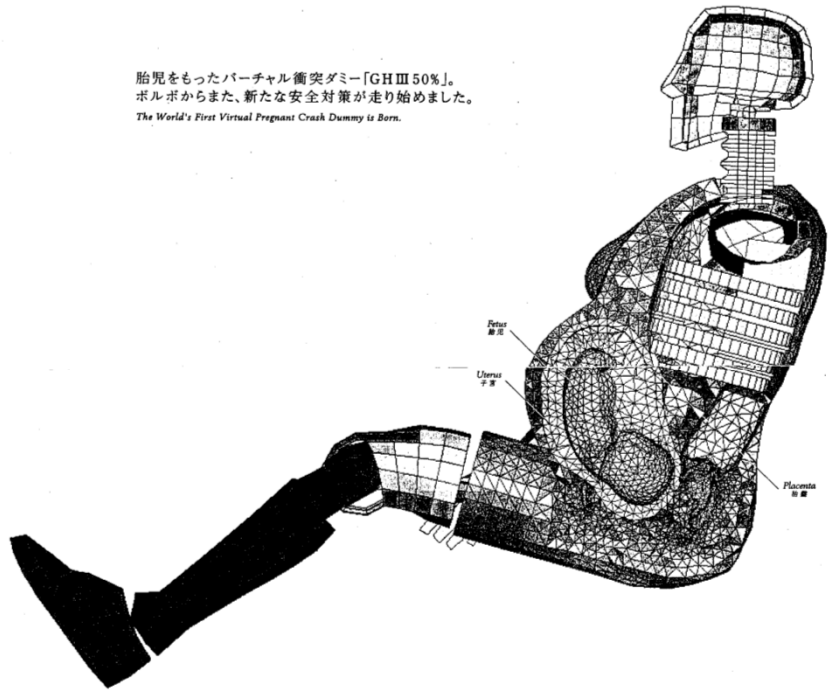
1960年頃 有限要素法(構造解析)

1965年 MAC法(差分法による流体解析)

1972年 SIMPLE法(有限体積法による流体解析)

人体のモデリング

【企業広告】 2002年(平成14年)11月22日 金曜日 12版A 16



胎児をもったバーチャル衝突ダミー「GHIII 50%」。
ボルボからまた、新たな安全対策が走り始めました。
The World's First Virtual Pregnant Crash Dummy is Born.

今日では車に乗るすべての乗員は高いレベルの安全システムで守られています。しかし、妊婦と胎児の安全に関しては多くの研究がなされているのが実情です。この分野の安全対策を次の最優先課題と考えるボルボは、世界初のバーチャル妊婦ダミー「GHIII 50%」を開発しました。これは、乗車の際にも危険性が高いと考えられている妊婦初期の女性のコンピュータモデルで、人間と同様の法則を導入しています。乗車と衝突の「赤ちゃん」は、現実、乗車上の乗客が「赤ちゃん」を押し、多くの負傷を発生させるとは想定していません。シートベルトやエアバッグは子宮や胎盤、胎児にどのような影響を与えるのか、母体内で胎児はどのような動きをするのか、また、安全装置の新しいデザインをテストする際にも彼女たちは参照します。私たちのこれまでの研究では、正しくシートベルトを着用することが、妊婦と胎児を守るために有効であるという結果がでています。国によって法規制は異なりますが、スウェーデンではほとんどの妊婦がシートベルトを着用しています。75年にわたる安全調査の歴史の中で、最も安全なシートベルト(1972年)やデュアルインテグレーションのシートベルト(1990年)など、チャイルドセーフティにおいても常に先駆者であり続けてきたボルボ、バーチャル妊婦ダミーによる胎児をシミュレートするための研究が、世界で初めて始まりまし

「Let's name GHIII 50%」世界初のバーチャル妊婦ダミーにも名前をつけてください。応募者の中から抽選で100名様にボルボの3点式シートベルトを模倣した「エルム人形」を差しあげます。
「ボルボ・スベリウム セーフティ・ストーリー」を抽選で10名様に差しあげます。100名以上の抽選者から抽選で10名様に抽選で100名様に「ボルボ・セーフティ・ストーリー」の抽選券を、GHIII 50%開発者からの感謝状などの最新情報を差しあげます。
「Let's name GHIII 50%」および「ボルボ・スベリウム セーフティ・ストーリー」のご応募は、ボルボホームページで申し込めます。(応募期間:11月21日~12月31日まで)

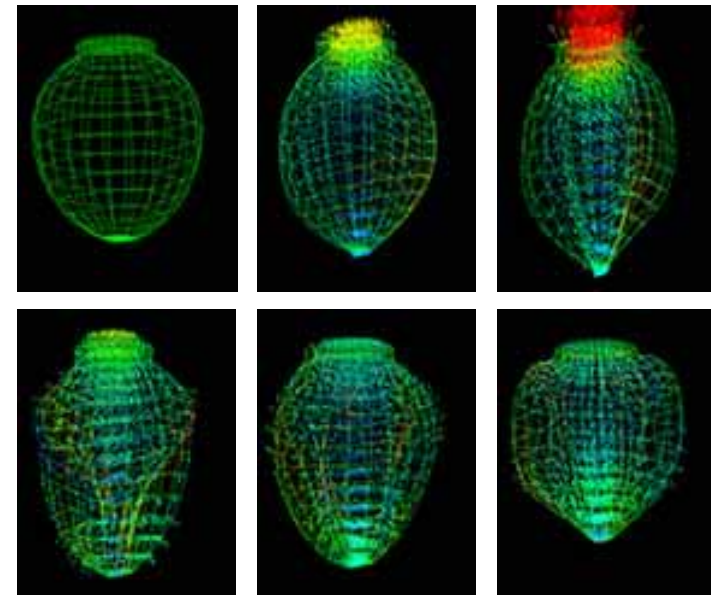
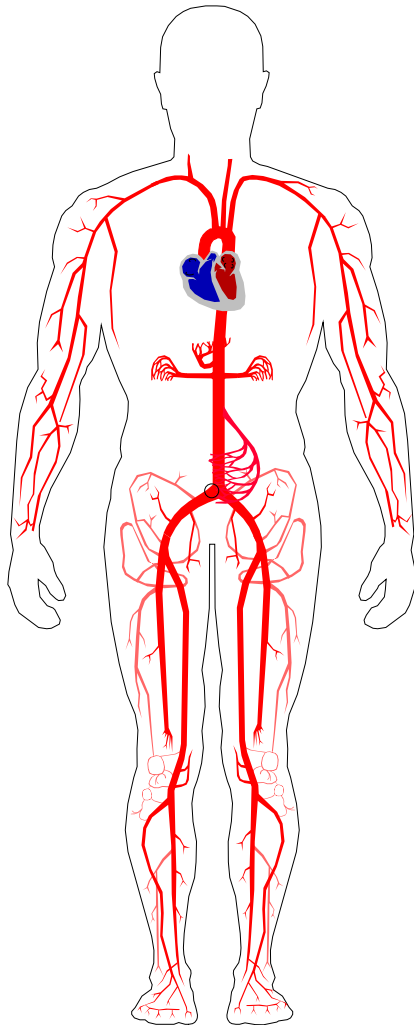
ボルボ製品カタログのご請求およびボルボショールームのご案内は、0120-95-9500またはwww.volvocars.jpまで。

循環系シミュレーションモデル

バーチャルハート

国立循環器病センター，東京大学医学部

バーチャルハートを実現するためには、神経の興奮から始まる電位場解析、sarcomere(筋節)の収縮モデル、流体・構造連成解析、などを組み合わせた大きなシステムを構築する必要がある。今後、心臓全体、システム全体のモデル化を進める。各種心臓疾患の治療薬・治療法開発、手術計画、遺伝子治療へのブレークスルーを与えることを目指した計算科学の真価が問われる研究



脳動脈の血流シミュレーション

流体科学研究所と医学部との共同研究

Tamer HASSAN^{*1}, Tsutomu SAITO^{*2}, Eugene TIMOFEEV^{*2}, Akira TAKAHASHI^{*1},
Kazuyoshi TAKAYAMA^{*2}, Takashi YOSHIMOTO^{*3}

The Fifth JSME-KSME Fluids Engineering Conference
Nov. 17-21, 2002, Nagoya, Japan

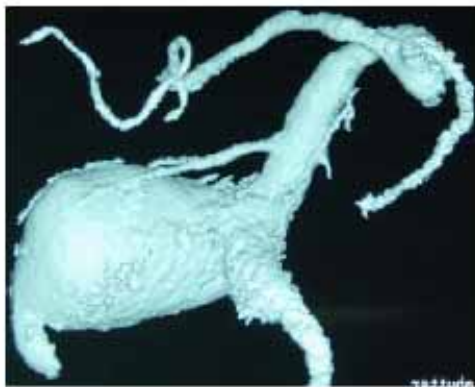
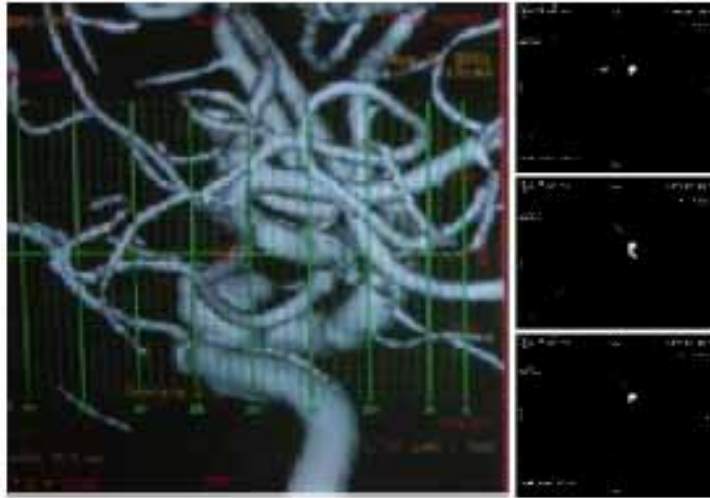


Fig. 6 The image of a giant vertebrobasilar aneurysm created with 3D DSA.

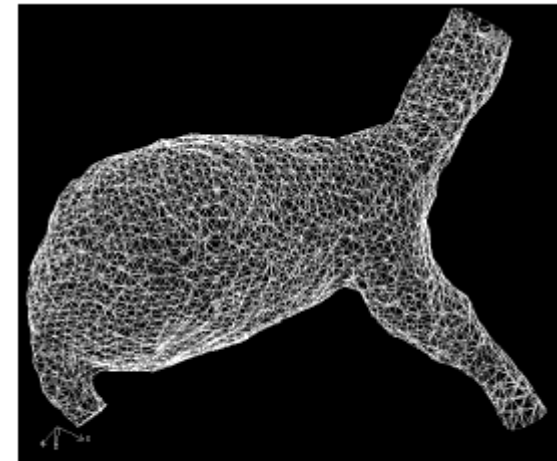


Fig. 7 Volume mesh modeling giant vertebrobasilar aneurysm, created from the DSA image in Fig. 6.

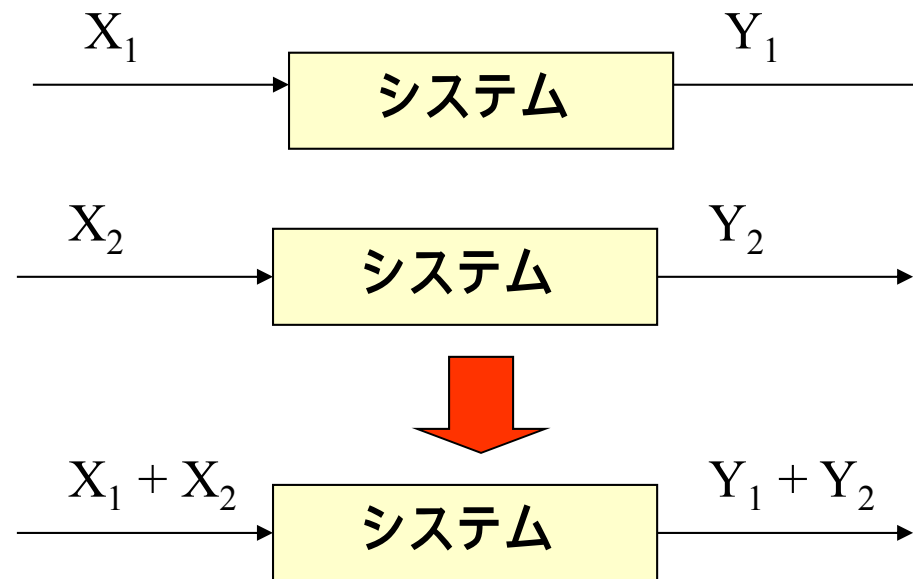
2 . 動的システムと微分方程式

線形システムと非線形システム

システム (関数、写像、...) $Y = F(X)$



線形システムは $F(X_1 + X_2) = F(X_1) + F(X_2)$ を満たすもの(特殊)

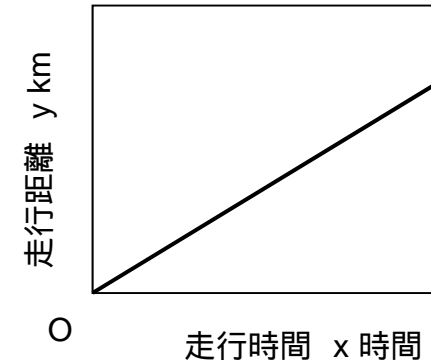


非線形システムは $F(X_1 + X_2) = F(X_1) + F(X_2)$ を満たさないもの

線形システムの例(1)

- a) 時速 a kmで走る自動車の走行時間 x (入力)と距離 y (出力)の関係

$$y = a \cdot x \quad (\text{正比例})$$



- b) 横ベクトル $\mathbf{a} = [a_1 \quad a_2]$

$$\mathbf{x} = \begin{bmatrix} x_1 \\ x_2 \end{bmatrix} \in \mathbf{R}^2 \quad (\text{2次元ベクトル、入力})$$

$$\underline{y} \in \mathbf{R} \quad (\text{スカラー、出力})$$

$$y = a_1 x_1 + a_2 x_2 = [a_1 \quad a_2] \begin{bmatrix} x_1 \\ x_2 \end{bmatrix} = \mathbf{a}\mathbf{x} \quad (\text{線形汎関数})$$

線形システムの例(2)

c) 行列

$$\mathbf{A} = \begin{bmatrix} \mathbf{a}_1^T \\ \mathbf{a}_2^T \\ \vdots \\ \mathbf{a}_n^T \end{bmatrix}$$

$$\mathbf{x} = \begin{bmatrix} x_1 \\ x_2 \\ \vdots \\ x_m \end{bmatrix} \in \mathbf{R}^m \quad (\text{m次元ベクトル、入力})$$

$$\mathbf{y} = \begin{bmatrix} y_1 \\ y_2 \\ \vdots \\ y_n \end{bmatrix} \in \mathbf{R}^n \quad (\text{n次元ベクトル、出力})$$

横ベクトル

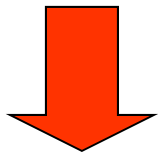
縦ベクトル

$$\begin{bmatrix} y_1 \\ y_2 \\ \vdots \\ y_n \end{bmatrix} = \begin{bmatrix} a_{11} & a_{12} & \cdots & a_{1m} \\ a_{21} & a_{22} & \cdots & a_{2m} \\ \cdots & \cdots & \cdots & \cdots \\ a_{n1} & a_{n2} & \cdots & a_{nm} \end{bmatrix} \begin{bmatrix} u_1 \\ u_2 \\ \vdots \\ u_m \end{bmatrix}$$

$$\begin{bmatrix} y_1 \\ y_2 \\ \vdots \\ y_n \end{bmatrix} = \begin{bmatrix} a_{11} & a_{12} & \cdots & a_{1m} \\ a_{21} & a_{22} & \cdots & a_{2m} \\ \cdots & \cdots & \cdots & \cdots \\ a_{n1} & a_{n2} & \cdots & a_{nm} \end{bmatrix} \begin{bmatrix} x_1 \\ x_2 \\ \vdots \\ x_m \end{bmatrix}$$

入力

出力



線形代数

行列は2通りの捉え方ができる

- (1) 横ベクトルが縦に並んだもの
- (2) 縦ベクトルが横に並んだもの

線形システムの例(3)

d) 積分変換

行列で、 n 、 m を無限大にする

$x(t)$ (関数、入力) $y(s)$ (関数、出力)

$$\begin{bmatrix} y_1 \\ y_2 \\ \vdots \\ \vdots \end{bmatrix} = \begin{bmatrix} a_{11} & a_{12} & \cdots & \cdots \\ a_{21} & a_{22} & \cdots & \cdots \\ \cdots & \cdots & \cdots & \cdots \\ \cdots & \cdots & \cdots & \cdots \end{bmatrix} \begin{bmatrix} x_1 \\ x_2 \\ \vdots \\ \vdots \end{bmatrix}$$

\xrightarrow{t} $x(t)$
 $\downarrow t$

関数をベクトルと捉える(重要)

$$y(s) = \int_0^t a(s,t)x(t)dt \quad (\text{積分変換})$$

例

$$g(\omega) = \int_{-\infty}^{\infty} e^{-j\omega t} f(t)dt \quad (\text{フーリエ変換})$$

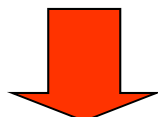
$$F(s) = \int_0^{\infty} e^{-st} f(t)dt \quad (\text{ラプラス変換})$$

関数の内積

$$(x | y) = \int_0^1 x(t)y(t)dt$$

関数の直交性

$$(x | y) = \int_0^{2\pi} \sin t \cos t dt = 0$$


 関数解析

非線形システム

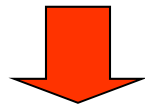
線形システムでないものは全て非線形
(ほとんど全てのシステム)

動的システム(1)

システムの現在の状態が、システムの過去の状態と関連するシステム((重要))

動的システムの例

- 1) 力の作用する物体の運動
- 2) 経済システム
- 3) 生態系



静的システムの例

- 1) サイコロの目の出方

数学的には「微分方程式」で記述できる

$$\frac{dx}{dt} = f(x) \quad (\text{システムの未来の状態が、現在の状態の関数で表される})$$

微分方程式は動的システムの数学的表現((重要))

動的システム(2)

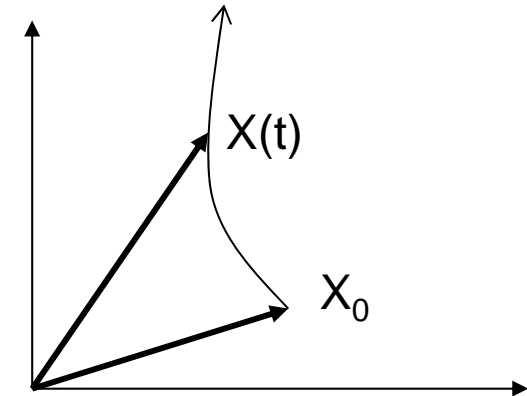
微分方程式(動的システム)の解は、システムの状態 x が、時間と共にどのように変化するかを示す。

$$\frac{dx}{dt} = f(x)$$

1) f が線形の場合は、解析的に解ける

$$\frac{dx}{dt} = Ax$$

全て、 $x = x_0 e^{\lambda t}$ の形で表せる (複素数の場合は、 $\sin t$, $\cos t$)



2) f が非線形の場合(現実の世界)は、一般に解析的に解けない



- 数値シミュレーション
- 線形近似(非線形システムは局所的に線形システムとみなせる)

まとめ

- 線形システム
- 動的システム
- 微分方程式

3. 偏微分方程式

偏微分方程式

独立変数が2つ以上の場合

$$u(x_1, \dots, x_n)$$

1階の線形偏微分方程式は連立常微分方程式と等価である

$$a_1 \frac{\partial u}{\partial x_1} + \dots + a_n \frac{\partial u}{\partial x_n} = a$$

2階の偏微分方程式は以下の標準形に分類できる

楕円型 $\frac{\partial^2 u}{\partial x_1^2} + \frac{\partial^2 u}{\partial x_2^2} + ku = a$ 圧力場、非圧縮定常粘性流、ポテンシャル場

双曲型 $\frac{\partial^2 u}{\partial x_1^2} - \frac{\partial^2 u}{\partial x_2^2} + ku = a$ 弾性波、音波、脈波の伝播

放物型 $\frac{\partial^2 u}{\partial x_1^2} - \frac{\partial u}{\partial x_2} = a$ 熱伝導、物質の拡散

偏微分方程式で記述される対象

血流速度、圧力分布
血管変形、応力分布
骨のひずみ、応力分布

一般化保存則(1)

非圧縮粘性流体の運動を記述する基礎方程式は、運動量の保存を表すナビエ・ストークス方程式と質量の保存を表す連続方程式である。
 ナビエ・ストークス式は次の一般化保存則の特別な場合と考えられる。

$$\frac{\partial}{\partial t}(\rho\phi) = -\text{div}(\rho\mathbf{u}\phi) + \text{div}(\Gamma \text{grad } \phi) + S \quad (1)$$

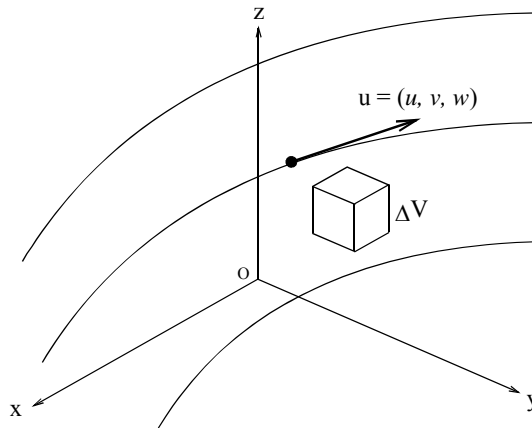
表 2-3 種々の保存式

	未知数	拡散係数	生成項 S
流れ場 (ナビエ・ストークス)	u (x 方向速度)	μ (粘度)	- p/ x (x 方向の圧力勾配)
	v (y 方向速度)		- p/ y (y 方向の圧力勾配)
	w (z 方向速度)		- p/ z (z 方向の圧力勾配)
温度場 (エネルギー方程式)	T (温度)	k (熱伝導率)	S _t (単位体積あたりの熱発生率)
化学種の保存式	m _i (質量分率)	l (拡散係数)	R _i (反応による発生率)

一般化保存則(2)

式(1)は, 3次元の流れ場[速度ベクトルは $\mathbf{u}=(u, v, w)$. 下図参照]における任意の量 ϕ の保存則を表している. 従属変数 ϕ として, 各速度成分 u, v, w を考えた場合に得られる3つの式が, ナビエ・ストークス方程式である.
式中の各項のもつ物理的意味を以下に説明する.

$$\frac{\partial}{\partial t}(\rho\phi) = -\text{div}(\rho\mathbf{u}\phi) + \text{div}(\Gamma \text{grad } \phi) + S$$



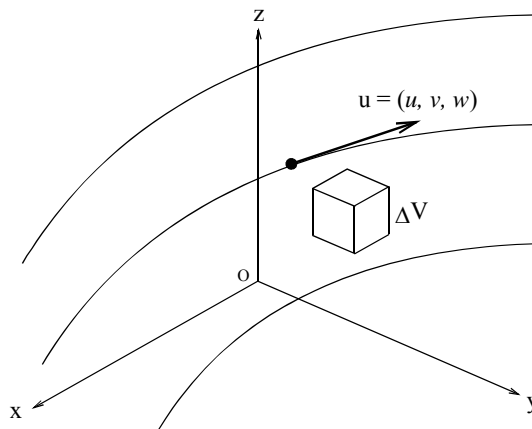
一般化保存則(3)

時間微分項

式(1)の左辺の項(A)は、微小体積 ΔV の中の ϕ の時間変化を表している。
同式はこれが右辺の各項の和で与えられることを表している。

$$\frac{\partial}{\partial t}(\rho\phi) = -\text{div}(\rho\mathbf{u}\phi) + \text{div}(\Gamma \text{grad } \phi) + S$$

A



一般化保存則(5)

対流項(補足)

なお, 非圧縮性流体の場合, 式(2)は次のようにも書かれる.

$$-\operatorname{div}(\rho \mathbf{u} \phi) = -\rho u \frac{\partial \phi}{\partial x} - \rho v \frac{\partial \phi}{\partial y} - \rho w \frac{\partial \phi}{\partial z} - \underbrace{\phi \frac{\partial(\rho u)}{\partial x} + \phi \frac{\partial(\rho v)}{\partial y} + \phi \frac{\partial(\rho w)}{\partial z}}$$

上式の下線部は連続式より0となる.

一般化保存則(7)

生成項

$$\frac{\partial}{\partial t}(\rho\phi) = -\text{div}(\rho\mathbf{u}\phi) + \text{div}(\Gamma \text{grad } \phi) + \underline{S}$$

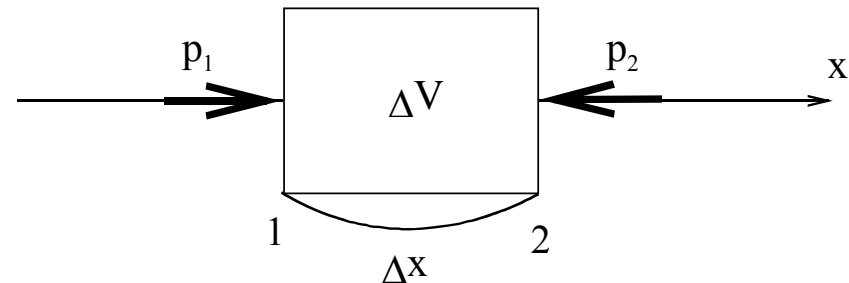
D

式(1)中の(D)は生成項と呼ばれ, 上で述べた対流項, 拡散項以外の効果を全てこの項で評価する. ナビエ・ストークス式の場合, この項に相当するのは圧力の効果に関するものである. これをx方向成分について書けば, 下図を参照して次のようになる.

$$S = -\frac{\partial p}{\partial x}$$

y方向, z方向成分についても同様に, pの各方向への勾配を用いて表される.

$$-\frac{\partial p}{\partial x} \approx -\frac{p_2 - p_1}{\Delta x}$$



まとめ

偏微分方程式

楕円型

双曲型

放物型

一般化保存則

$$\frac{\partial}{\partial t}(\rho\phi) = -\operatorname{div}(\rho\mathbf{u}\phi) + \operatorname{div}(\Gamma \operatorname{grad} \phi) + S$$

4 . 常微分方程式の数値解法

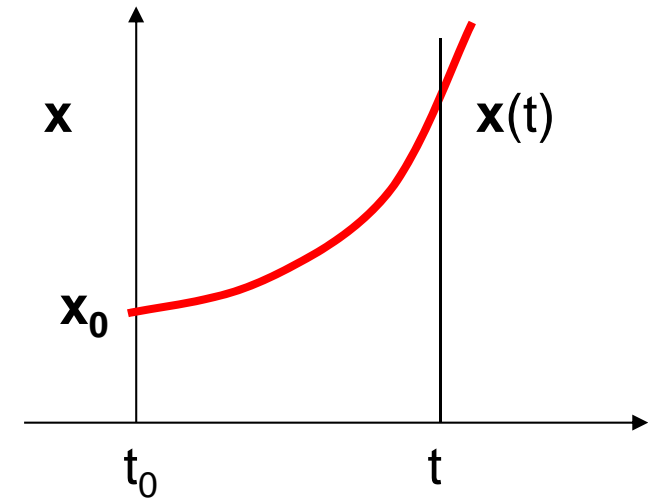
はじめに

常微分方程式

$$\frac{d\mathbf{x}}{dt} = \mathbf{f}(\mathbf{x}, t)$$

常微分方程式の解

時刻 $t = t_0$ のときの状態 \mathbf{x}_0 (初期条件)
に対するその後の状態 $\mathbf{x}(t)$



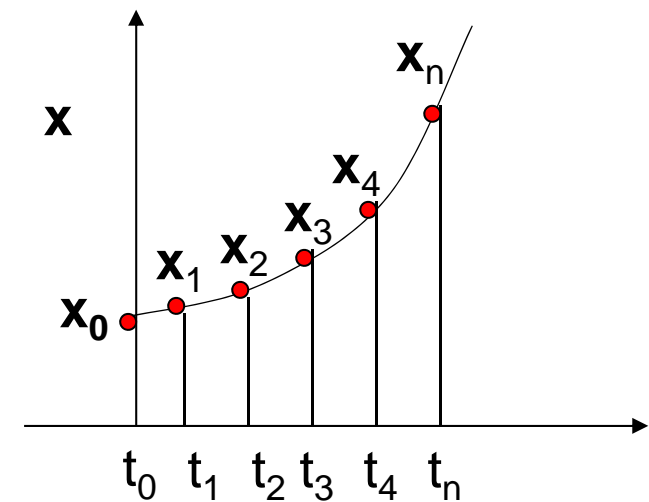
常微分方程式の数値解

時刻 $t = t_0$ のときの状態 \mathbf{x}_0 (初期条件)
に対するその後の状態

$\mathbf{x}_1, \mathbf{x}_2, \mathbf{x}_3, \mathbf{x}_4, \dots$

オイラー法

$$\mathbf{x}_{i+1} = \mathbf{x}_i + \Delta t \times \mathbf{f}(\mathbf{x}_i, t_i)$$



誤差が累積して、精度のよい解が得られない

ルンゲクッタ法

常微分方程式の標準的な数値解法

微分方程式

$$\frac{d\mathbf{x}}{dt} = \mathbf{f}(\mathbf{x}, t)$$

テーラー展開を応用して、時間刻み Δt の4次の項まで一致する解を得る。

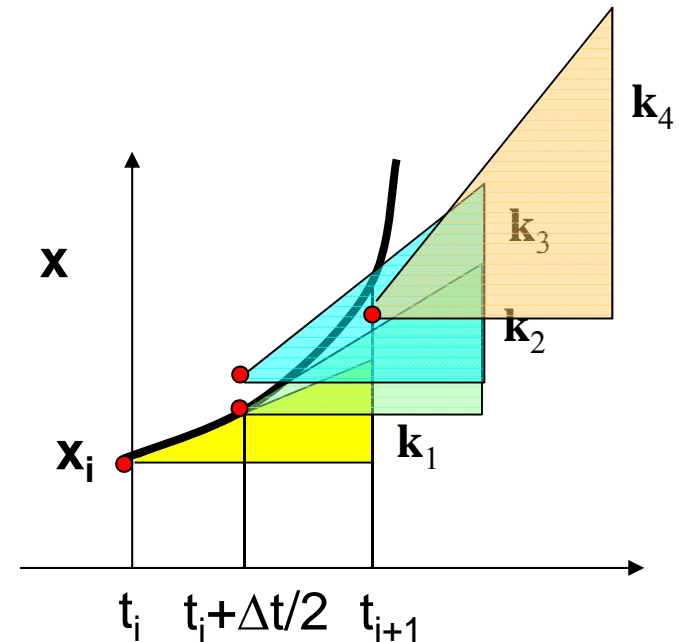
$$\mathbf{k}_1 = \Delta t \times \mathbf{f}(\mathbf{x}_i, t_i)$$

$$\mathbf{k}_2 = \Delta t \times \mathbf{f}(\mathbf{x}_i + \mathbf{k}_1/2, t_i + \Delta t/2)$$

$$\mathbf{k}_3 = \Delta t \times \mathbf{f}(\mathbf{x}_i + \mathbf{k}_2/2, t_i + \Delta t/2)$$

$$\mathbf{k}_4 = \Delta t \times \mathbf{f}(\mathbf{x}_i + \mathbf{k}_3, t_i + \Delta t)$$

$$\mathbf{x}_{i+1} = \mathbf{x}_i + (1/6)(\mathbf{k}_1 + 2\mathbf{k}_2 + 2\mathbf{k}_3 + \mathbf{k}_4)$$



まとめ

- 常微分方程式の解
- 常微分方程式の数値解
- オイラー法
- ルンゲクッタ法

5 . 偏微分方程式の数値解法

数値解法

有限差分法、有限体積法

有限要素法

境界要素法

粒子法

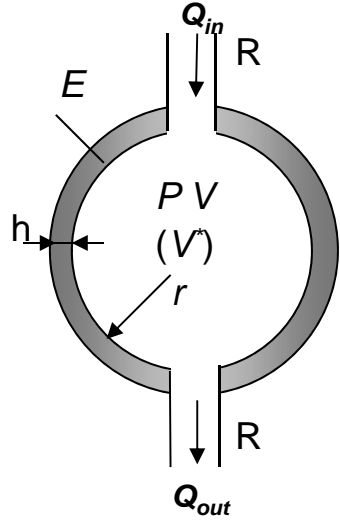
格子ボルツマン法

.....

6 . 数値シミュレーションの例

循環器系のシミュレーション

ルンゲクッタ法によるシミュレーション

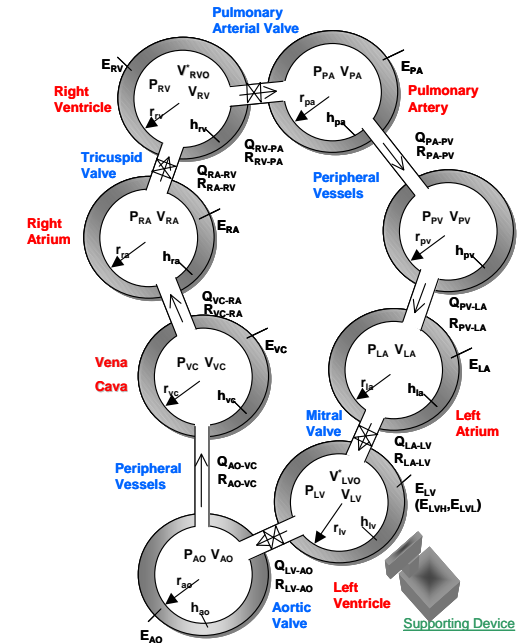


$$\frac{dP}{dt} = \frac{hE}{2\pi r^4} (Q_{in} - Q_{out} - \frac{dV^*}{dt})$$

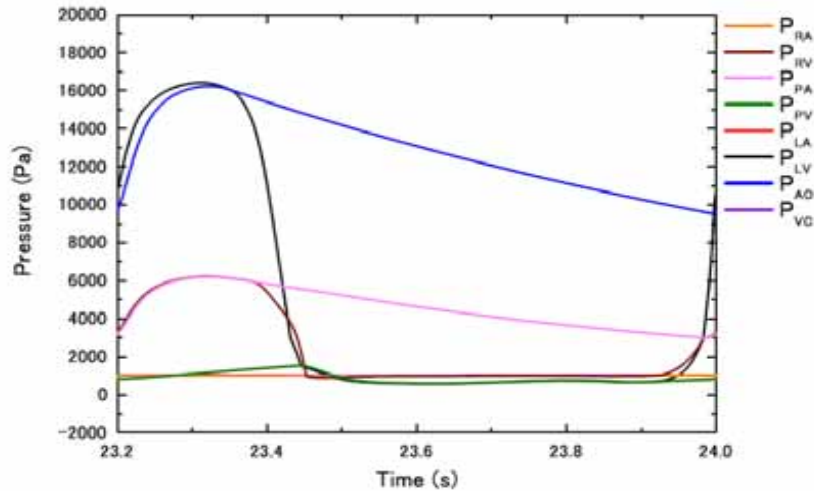
$$Q = C \left(\frac{P_1 - P_2}{R} \right)$$

$$V = V_0 + \frac{2\pi r^4}{hE} P$$

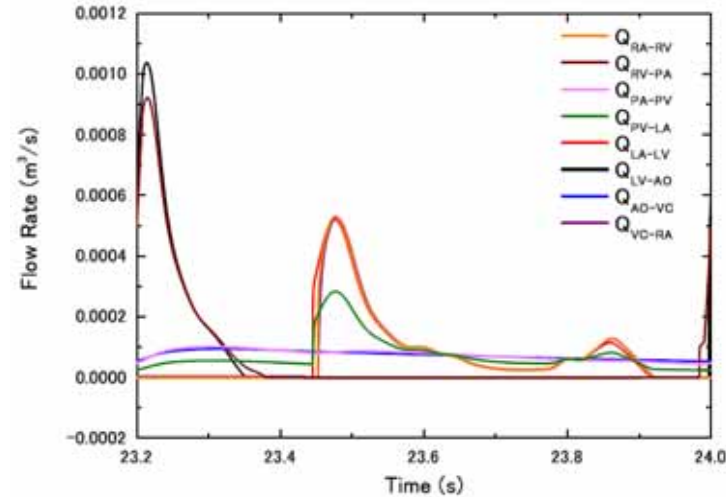
弾性球殻モデル 常微分方程式



循環系全体のモデル



血圧の変化



血流量の変化

脈波伝播のシミュレーション

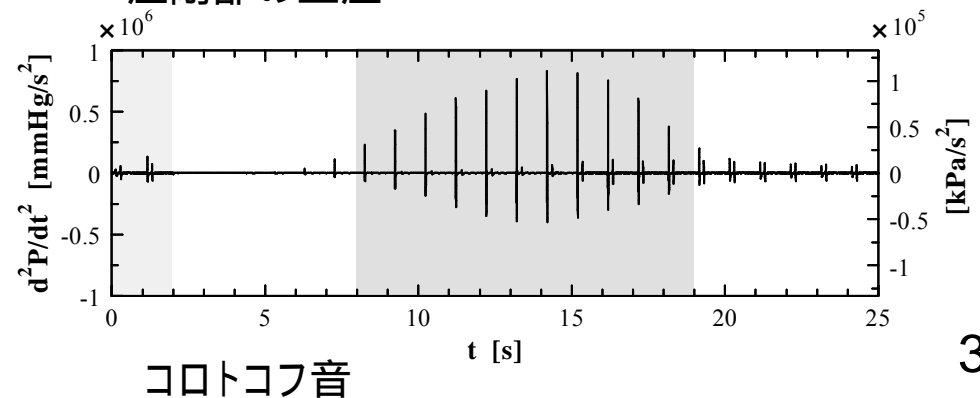
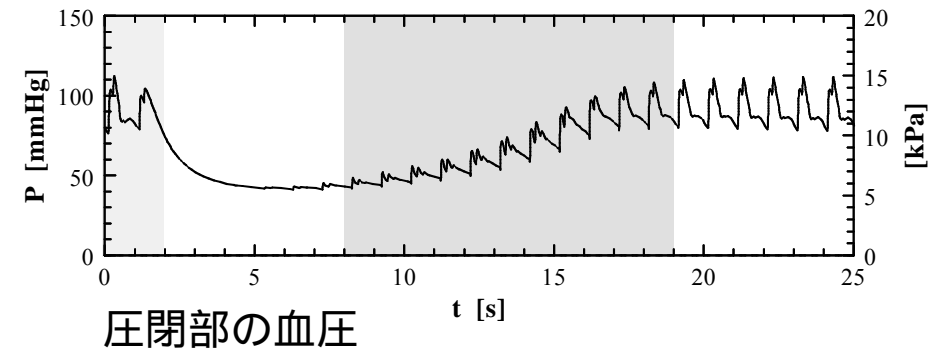
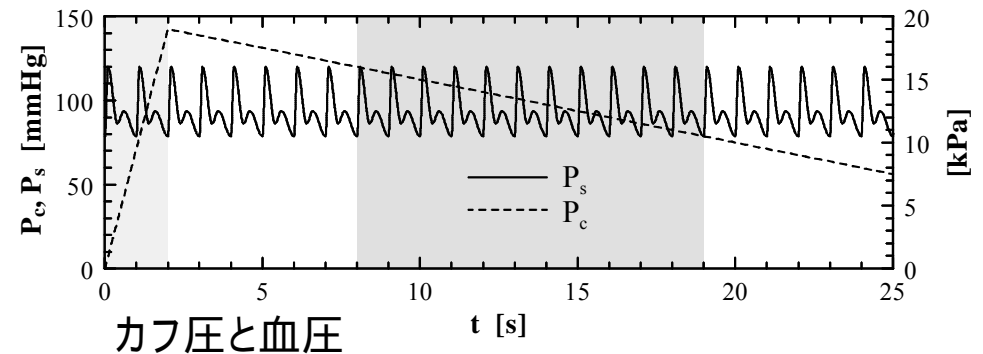
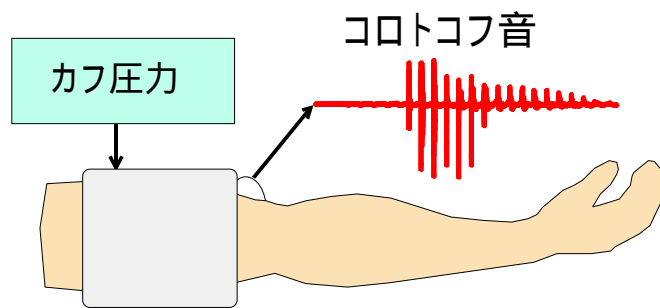
偏微分方程式をx方向に差分化した後、ルンゲクッタ法でシミュレーション

$$\rho \left(\frac{\partial u}{\partial t} + u \frac{\partial u}{\partial x} \right) = -\frac{\partial P}{\partial x} - \frac{1}{2} \rho f_t |u| u \left(\frac{S}{A} \right)$$

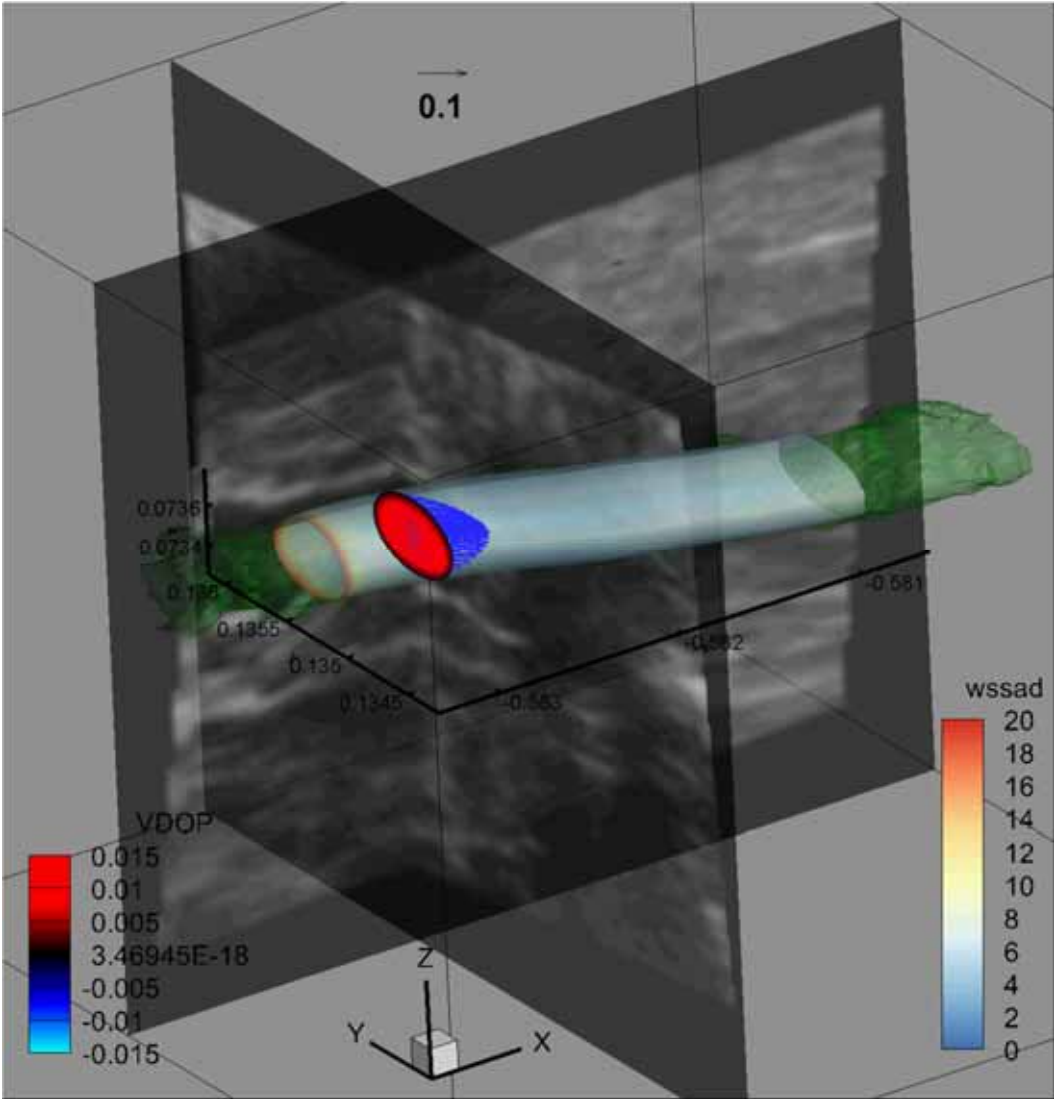
$$\frac{\partial A}{\partial t} + \frac{\partial Q}{\partial x} = 0$$

$$T \frac{\partial^2 y}{\partial x^2} = P_e - P + \phi \left(\frac{A}{A_0} \right) + \gamma \frac{\partial A}{\partial t}$$

血圧測定における
コロトコフ音の発生機構



マウス頸動脈の超音波計測融合シミュレーション



7. おわりに

まとめ

シミュレーションの歴史
動的システムと微分方程式
常微分方程式の数値解法
偏微分方程式の数値解法
数値シミュレーションの例